



Laboratorium EMVO Sp. J. Urbański, Pawełak

ul. Jasna 1
00-013 Warszawa

tel. +48 22 780 29 64

e-mail: laboratorium@emvo.pl



AB 1630

Sprawozdanie z pomiarów pól elektromagnetycznych - środowisko nr 07/06/OŚ/2023-P4



Nr i nazwa stacji	ILA0202A	
Adres	Susz, dz. nr 242, pow. iławski, woj. warmińsko-mazurskie	
Opracowanie	Wiesław Laskowski	Specjalista ds. pomiarów
Autoryzacja	Andrzej Urbański	Kierownik Laboratorium
Podpis		
Data	2023-06-09	

„Bez pisemnej zgody Laboratorium niniejsze sprawozdanie nie może być powielane inaczej, jak tylko w całości. Ponadto wyniki dotyczą tylko badanych obiektów przywołanych w niniejszym sprawozdaniu z badań”

07/06/OŚ/2023-P4

Strona 1 z 10

Spis treści

1. Informacje ogólne.....	3
2. Podstawa prawna.	3
3. Opis pomiarów.....	3
4. Zróżnicowanie dopuszczalne poziomy pól elektromagnetycznych.....	4
5. Charakterystyka źródeł PEM.....	5
6. Wyniki pomiarów.....	5
7. Stwierdzenie zgodności	7
8. Oświadczenie.....	8
9. Spis załączników.	8

1. Informacje ogólne.

Zleceniodawca	P4 Sp. z o.o., ul. Wynałazek 1, 02-677 Warszawa osoba udzielająca informacji – Magdalena Sokół
Istotne informacje dostarczone przez klienta	komplet informacji niezbędnych do wykonania pomiarów i opracowania sprawozdania
Dane otrzymane od klienta mogące mieć wpływ na ważność wyników	dane anten sektorowych, dane anten radioliniowych, parametry pracy instalacji, poprawka pomiarowa
Prowadzący instalację	P4 sp. z o.o., ul. Wynałazek 1, 02-677 Warszawa
Lokalizacja obiektu	Susz, dz. nr 242, pow. iławski, woj. warmińsko-mazurskie
Miejsce instalacji anten	wieża kratowa
Miejsce instalacji urządzeń	outdoor
Osoby wykonujące pomiar	Roman Murawski - pomiarowiec
Data wykonania pomiaru	2023-06-09
Godzina rozpoczęcia pomiaru	10.00
Godzina zakończenia pomiaru	11.20
Temperatura na początku pomiaru [°C]	26
Temperatura na koniec pomiaru [°C]	26
Warunki atmosferyczne	brak opadów
Wilgotność na początku pomiaru [%]	45
Wilgotność na koniec pomiaru [%]	45
Inne źródła pól elektromagnetycznych oznaczone na załączniku graficznym	nie występują
Parametry pracy instalacji	tryb eksploatacyjny

2. Podstawa prawna.

2.1 Normy i rozporządzenia:

- Obwieszczenie Ministra Klimatu i Środowiska z dnia 21 listopada 2022 r. w sprawie ogłoszenia jednolitego tekstu rozporządzenia Ministra Klimatu w sprawie sposobów sprawdzania dotrzymania dopuszczalnych poziomów pól elektromagnetycznych w środowisku (Dz.U. 2022 poz. 2630)
- Rozporządzenie Ministra Zdrowia z dnia 17 grudnia 2019 r. w sprawie dopuszczalnych poziomów pól elektromagnetycznych w środowisku (Dz.U. 2019 poz. 2448)
- Obwieszczenie Marszałka Sejmu Rzeczypospolitej Polskiej z dnia 1 grudnia 2022 r. w sprawie ogłoszenia jednolitego tekstu ustawy - Prawo ochrony środowiska (Dz.U. 2022 poz. 2556).

3. Opis pomiarów

Metodologia pomiarowa Pomiary w oparciu o Rozporządzenie Ministra Klimatu z dnia 17 lutego 2020 r. w sprawie sposobów sprawdzania dotrzymania dopuszczalnych poziomów pól elektromagnetycznych w środowisku (Dz.U. 2022 poz. 2630).

Cel badań Określenie wartości natężenia pola elektrycznego w miejscach dostępnych dla ludności.

Opis zestawu pomiarowego	<p>Miernik Narda NBM 550, Sonda EF-6092, o zakresie pomiarowym 0,7 V/m –300V/m pracująca w paśmie 0,1 – 90 GHz, świadectwo wydane przez Laboratorium Wzorców i Metrologii Pola Elektromagnetycznego, Instytut Telekomunikacji, Teleinformatyki i Akustyki Politechniki Wrocławskiej. Świadectwo ważne do 10.06.2024 r.</p> <p>Miernik Narda NBM 550, Sonda EF-6092 pracująca w zakresie temperatury -10°C - +50°C oraz wilgotności 5% - 95%</p> <p>Niepewność rozszerzona wynosi 58,8% przy poziomie ufności 95% z uwzględnieniem współczynnika rozszerzenia k=2.</p>
Wyposażenie pomocnicze	<p>Termohigrometr Bestone, Nr. inwentarzowy 03/WL, nr identyfikacyjny 1222436, typ: GM1362-EN-00, świadectwo wzorcowania z dn. 22.12.2015 r. wydane przez Laboratorium Pomiarowe „MUTECH”.</p> <p>Przymiar wstęgowy STABILA, Nr. inwentarzowy 06/WL, nr identyfikacyjny 06WL, świadectwo wzorcowania z dn. 22.09.2021 r. wydane przez Zespół Laboratoriów wzorcujących Okręgowego Urzędu Miar w Gdańsku.</p> <p>GPS Garmin 64s okresowo sprawdzany w punktach osnowy geodezyjnej klasy 3 na podstawie licencji punktu, zgodnie z procedurą sprawdzeń okresowych IS/PO-16-11/03.</p>
Pomiary zostały wykonane	<ol style="list-style-type: none"> na głównych i pomocniczych kierunkach pomiarowych, na kierunkach zbliżonych do azymutów anten oraz w dodatkowych pionach pomiarowych zgodnie z wymaganiami pkt 12, 13, 14 i 19 Rozporządzenia Ministra Klimatu z dnia 17 lutego 2020 r. (Dz.U. 2022 poz. 2630). na obszarze pomiarowym, dla którego, na podstawie uprzednio przeprowadzonych obliczeń stwierdzono w miejscach dostępnych dla ludności występowanie pól elektromagnetycznych o najwyższym poziomie, które pochodzą z badanej instalacji zgodnie z wymaganiami pkt 5 ppkt 2 oraz pkt 13 ppkt 1 Rozporządzenia Ministra Klimatu z dnia 17 lutego 2020 r. w sprawie sposobów sprawdzania dotrzymania dopuszczalnych poziomów pól elektromagnetycznych w środowisku (Dz.U. 2022 poz. 2630). Wyniki obliczeń nie uwzględniały parametrów pracy instalacji innych operatorów występujących na obiekcie bądź w obszarze pomiarowym. w miejscach dostępnych dla ludności. miejsca niedostępne podczas wykonywania pomiarów wskazane zostały w pkt 6 (tabeli wyniki pomiarów).
Szczególne warunki podczas wykonywania pomiarów	Pomiary wykonane zostały podczas obowiązywania w kraju stanu zagrożenia epidemicznego, zgodnie z art. 122a ust. 1b Ustawy z dnia 27 kwietnia 2001 r. – Prawo ochrony środowiska (Dz. U. z 2019 r. poz. 1396, z późn. zm.9))
Warunki pracy urządzeń nadawczych	Tryb pracy eksploatacyjny.

4. Zróżnicowanie dopuszczalne poziomy pól elektromagnetycznych.

Zakresy znajdują się w Dzienniku Ustaw z dnia 17 grudnia 2019 r. przedstawione są w tabeli nr 2 (Dz. U. z 2019r. poz. 2448).

Zakres częstotliwości pola elektromagnetycznego	Parametr fizyczny		
	Składowa elektryczna E (V/m)	Składowa magnetyczna H (A/m)	Gęstość mocy S (W/m ²)
od 400 MHz do 2000 MHz	$1,375 \times f^{0,5}$	$0,0037 \times f^{0,5}$	$f / 200$
od 2 GHz do 300 GHz	61	0,16	10

5. Charakterystyka źródeł PEM.

Zgodnie z informacją otrzymaną od klienta pomiary zostały wykonane przy ustawieniach pochylecia anten zgodnych z pkt. 13, ppkt 2 załącznika do rozporządzenia Ministra Klimatu z dnia 17 lutego 2020 roku.

Tabela 1. Anteny sektorowe - dane otrzymane od klienta

Charakterystyka promieniowania		kierunkowa			
Rzeczywisty czas pracy [h/dobę]		24			
Rodzaj wytwarzanego pola		stacjonarne			
Lp.	Wyszczególnienie	sektor 1	sektor 2	sektor 3	sektor 4
I	Nadajnik stacji bazowej:				
1	Typ / Producent	DBS/RBS / Overlay Huawei/Ericsson			
2	Częstotliwość (pasmo) MHz	900	900	900	900
3	Maksymalna moc nadawana na sektor [dBm]	46,12	46,12	46,12	46,12
II	Obciążenie:				
1	Typ anteny	Huawei ATR4518R11	Huawei ATR4518R11	Huawei ATR4518R11	Huawei ATR4518R11
2	Producent anteny	Huawei	Huawei	Huawei	Huawei
3	Ilość anten	1	1	1	1
4	Azymut	40	130	220	310
5	Zakres kątów pochylecia anten [°]	0,00-6,00	0,00-6,00	0,00-6,00	0,00-6,00
6	Średnie pochylecia anten (ustawione do pomiarów PEM) [°]	3	3	3	3
7	Wysokość zainstalowania n.p.t. [m] (środek elektryczny anteny)	41,50	41,50	41,50	39,00
8	EIRP [W]	1986	1986	1986	1986

Tabela 2. Anteny radioliniowe - dane otrzymane od klienta

Charakterystyka promieniowania		kierunkowa					
Rzeczywisty czas pracy [h/dobę]		24					
Rodzaj wytwarzanego pola		stacjonarne					
Lp.	Linia radiowa			Antena			
	typ/producent	częstotliwość pracy [GHz]	moc wyjściowa [dBm]	typ/producent	średnica anteny [m]	azymut [°]	wysokość zainstalowania n.p.t. [m] (środek elektryczny anteny)
1	OPTIX RTN/HUAWEI	23	21	A23D06/Huawei	0,6	6	38,80

6. Wyniki pomiarów.

Wyniki pomiarów pól elektromagnetycznych dla celów ochrony środowiska przedstawia poniższa tabela. Piony pomiarowe zostały przedstawione w zał. 2.

Nr PP	Pole-E [V/m]	Pole-E+U [V/m]	Pole-H [A/m]	Pole-H +U [A/m]	Wysokość pomiaru [m]	Współrzędne PP x, y	Opis PP	WM _E	WM _H
1	0,8	1,27	0,002	0,003	0,3 - 2,0	53°43'1.06" N 19°19'24.09" E	otoczenie stacji bazowej - 50 m wzdłuż gł. osi promieniowania - GKP	0,046	0,046
2	0,7*	1,27	0,002	0,003	0,3 - 2,0	53°43'2.3" N 19°19'25.85" E	otoczenie stacji bazowej - 100 m wzdłuż gł. osi promieniowania - GKP	0,046	0,046
3	0,7*	1,27	0,002	0,003	0,3 - 2,0	53°43'3.54" N 19°19'27.6" E	otoczenie stacji bazowej - 150 m wzdłuż gł. osi promieniowania - GKP	0,046	0,046
4	0,7*	1,27	0,002	0,003	0,3 - 2,0	53°43'4.78" N 19°19'29.35" E	otoczenie stacji bazowej - 200 m wzdłuż gł. osi promieniowania - GKP	0,046	0,046
5	0,7*	1,27	0,002	0,003	0,3 - 2,0	53°43'6.01" N 19°19'31.1" E	otoczenie stacji bazowej - 250 m wzdłuż gł. osi promieniowania - GKP	0,046	0,046

„Bez pisemnej zgody Laboratorium niniejsze sprawozdanie nie może być powielane inaczej, jak tylko w całości. Ponadto wyniki dotyczą tylko badanych obiektów przywołanych w niniejszym sprawozdaniu z badań”

Nr PP	Pole-E [V/m]	Pole-E+U [V/m]	Pole-H [A/m]	Pole-H +U [A/m]	Wysokość pomiaru [m]	Współrzędne PP x, y	Opis PP	WM _E	WM _H
6	0,7*	1,27	0,002	0,003	0,3 - 2,0	53°43'7.25" N 19°19'32.86" E	otoczenie stacji bazowej - 300 m wzdłuż gł. osi promieniowania - GKP	0,046	0,046
7	0,7*	1,27	0,002	0,003	0,3 - 2,0	53°43'8.49" N 19°19'34.61" E	otoczenie stacji bazowej - 350 m wzdłuż gł. osi promieniowania - GKP	0,046	0,046
8	0,7*	1,27	0,002	0,003	0,3 - 2,0	53°43'10.1" N 19°19'36.89" E	otoczenie stacji bazowej - 415 m wzdłuż gł. osi promieniowania - GKP	0,046	0,046
9	0,7*	1,27	0,002	0,003	0,3 - 2,0	53°42'58.78" N 19°19'24.43" E	otoczenie stacji bazowej - 50 m wzdłuż gł. osi promieniowania - GKP	0,046	0,046
10	0,7*	1,27	0,002	0,003	0,3 - 2,0	53°42'57.74" N 19°19'26.52" E	otoczenie stacji bazowej - 100 m wzdłuż gł. osi promieniowania - GKP	0,046	0,046
11	0,7*	1,27	0,002	0,003	0,3 - 2,0	53°42'56.7" N 19°19'28.61" E	otoczenie stacji bazowej - 150 m wzdłuż gł. osi promieniowania - GKP	0,046	0,046
12	0,7*	1,27	0,002	0,003	0,3 - 2,0	53°42'55.66" N 19°19'30.69" E	otoczenie stacji bazowej - 200 m wzdłuż gł. osi promieniowania - GKP	0,046	0,046
13	0,7*	1,27	0,002	0,003	0,3 - 2,0	53°42'54.62" N 19°19'32.78" E	otoczenie stacji bazowej - 250 m wzdłuż gł. osi promieniowania - GKP	0,046	0,046
14	0,7*	1,27	0,002	0,003	0,3 - 2,0	53°42'53.58" N 19°19'34.87" E	otoczenie stacji bazowej - 300 m wzdłuż gł. osi promieniowania - GKP	0,046	0,046
15	0,7*	1,27	0,002	0,003	0,3 - 2,0	53°42'52.54" N 19°19'36.96" E	otoczenie stacji bazowej - 350 m wzdłuż gł. osi promieniowania - GKP	0,046	0,046
16	0,7*	1,27	0,002	0,003	0,3 - 2,0	53°42'51.19" N 19°19'39.67" E	otoczenie stacji bazowej - 415 m wzdłuż gł. osi promieniowania - GKP	0,046	0,046
17	0,7*	1,27	0,002	0,003	0,3 - 2,0	53°42'58.58" N 19°19'20.59" E	otoczenie stacji bazowej - 50 m wzdłuż gł. osi promieniowania - GKP	0,046	0,046
18	0,7*	1,27	0,002	0,003	0,3 - 2,0	53°42'57.34" N 19°19'18.84" E	otoczenie stacji bazowej - 100 m wzdłuż gł. osi promieniowania - GKP	0,046	0,046
19	0,7*	1,27	0,002	0,003	0,3 - 2,0	53°42'56.1" N 19°19'17.08" E	otoczenie stacji bazowej - 150 m wzdłuż gł. osi promieniowania - GKP	0,046	0,046
20	0,7*	1,27	0,002	0,003	0,3 - 2,0	53°42'54.86" N 19°19'15.33" E	otoczenie stacji bazowej - 200 m wzdłuż gł. osi promieniowania - GKP	0,046	0,046
21	0,7*	1,27	0,002	0,003	0,3 - 2,0	53°42'53.63" N 19°19'13.58" E	otoczenie stacji bazowej - 250 m wzdłuż gł. osi promieniowania - GKP	0,046	0,046
22	0,7*	1,27	0,002	0,003	0,3 - 2,0	53°42'52.39" N 19°19'11.83" E	otoczenie stacji bazowej - 300 m wzdłuż gł. osi promieniowania - GKP	0,046	0,046
23	0,7*	1,27	0,002	0,003	0,3 - 2,0	53°42'51.15" N 19°19'10.07" E	otoczenie stacji bazowej - 350 m wzdłuż gł. osi promieniowania - GKP	0,046	0,046
24	0,7*	1,27	0,002	0,003	0,3 - 2,0	53°42'49.54" N 19°19'7.8" E	otoczenie stacji bazowej - 415 m wzdłuż gł. osi promieniowania - GKP	0,046	0,046
25	0,7*	1,27	0,002	0,003	0,3 - 2,0	53°43'0.86" N 19°19'20.25" E	otoczenie stacji bazowej - 50 m wzdłuż gł. osi promieniowania - GKP	0,046	0,046
26	0,7*	1,27	0,002	0,003	0,3 - 2,0	53°43'1.9" N 19°19'18.16" E	otoczenie stacji bazowej - 100 m wzdłuż gł. osi promieniowania - GKP	0,046	0,046
27	0,7*	1,27	0,002	0,003	0,3 - 2,0	53°43'2.94" N 19°19'16.07" E	otoczenie stacji bazowej - 150 m wzdłuż gł. osi promieniowania - GKP	0,046	0,046
28	0,7*	1,27	0,002	0,003	0,3 - 2,0	53°43'3.98" N 19°19'13.99" E	otoczenie stacji bazowej - 200 m wzdłuż gł. osi promieniowania - GKP	0,046	0,046
29	0,7*	1,27	0,002	0,003	0,3 - 2,0	53°43'5.02" N 19°19'11.9" E	otoczenie stacji bazowej - 250 m wzdłuż gł. osi promieniowania - GKP	0,046	0,046
30	0,7*	1,27	0,002	0,003	0,3 - 2,0	53°43'6.06" N 19°19'9.81" E	otoczenie stacji bazowej - 300 m wzdłuż gł. osi promieniowania - GKP	0,046	0,046
31	0,7*	1,27	0,002	0,003	0,3 - 2,0	53°43'7.1" N 19°19'7.72" E	otoczenie stacji bazowej - 350 m wzdłuż gł. osi promieniowania - GKP	0,046	0,046
32	0,7*	1,27	0,002	0,003	0,3 - 2,0	53°43'8.45" N 19°19'5" E	otoczenie stacji bazowej - 415 m wzdłuż gł. osi promieniowania - GKP	0,046	0,046
33	0,7*	1,27	0,002	0,003	0,3 - 2,0	53°43'1.43" N 19°19'22.62" E	otoczenie stacji bazowej - 50 m wzdłuż gł. osi promieniowania - GKP	0,046	0,046

„Bez pisemnej zgody Laboratorium niniejsze sprawozdanie nie może być powielane inaczej, jak tylko w całości. Ponadto wyniki dotyczą tylko badanych obiektów przywołanych w niniejszym sprawozdaniu z badań”

Nr PP	Pole-E [V/m]	Pole-E+U [V/m]	Pole-H [A/m]	Pole-H +U [A/m]	Wysokość pomiaru [m]	Współrzędne PP x, y	Opis PP	WM _E	WM _H
34	0,7*	1,27	0,002	0,003	0,3 - 2,0	53°43'3.04" N 19°19'22.91" E	otoczenie stacji bazowej - 100 m wzdłuż gł. osi promieniowania - GKP	0,046	0,046
35	0,7*	1,27	0,002	0,003	0,3 - 2,0	53°43'3.04" N 19°19'22.91" E	otoczenie stacji bazowej - PKP	0,046	0,046
36	0,7*	1,27	0,002	0,003	0,3 - 2,0	53°43'3.04" N 19°19'22.91" E	otoczenie stacji bazowej - PKP	0,046	0,046
37	0,7*	1,27	0,002	0,003	0,3 - 2,0	53°43'3.04" N 19°19'22.91" E	otoczenie stacji bazowej - PKP	0,046	0,046
38	0,7*	1,27	0,002	0,003	0,3 - 2,0	53°43'3.04" N 19°19'22.91" E	otoczenie stacji bazowej - PKP	0,046	0,046
39	0,7*	1,27	0,002	0,003	0,3 - 2,0	53°43'3.04" N 19°19'22.91" E	otoczenie stacji bazowej - PKP	0,046	0,046
40	0,7*	1,27	0,002	0,003	0,3 - 2,0	53°43'3.04" N 19°19'22.91" E	otoczenie stacji bazowej - PKP	0,046	0,046
41	0,7*	1,27	0,002	0,003	0,3 - 2,0	53°43'3.04" N 19°19'22.91" E	otoczenie stacji bazowej - PKP	0,046	0,046
A	0,7*	1,27	0,002	0,003	0,3 - 2,0	53°42'59.4" N 19°19'25.1" E	ul. Koszarowa 8a, pomiar przy budynku - DPP	0,046	0,046
B	0,7*	1,27	0,002	0,003	0,3 - 2,0	53°42'58.3" N 19°19'26.4" E	ul. Koszarowa 8, pomiar przy budynku - DPP	0,046	0,046
C	0,7*	1,27	0,002	0,003	0,3 - 2,0	53°42'58.0" N 19°19'25.2" E	ul. Koszarowa 10, pomiar przy budynku - DPP	0,046	0,046
D	0,7*	1,27	0,002	0,003	0,3 - 2,0	53°42'57.5" N 19°19'22.9" E	ul. Koszarowa, pomiar przy budynku - DPP	0,046	0,046
E	0,7*	1,27	0,002	0,003	0,3 - 2,0	53°42'55.6" N 19°19'29.4" E	ul. Koszarowa 17, pomiar przy budynku - DPP	0,046	0,046
F	0,7*	1,27	0,002	0,003	0,3 - 2,0	53°42'54.0" N 19°19'34.4" E	ul. Koszarowa 15, pomiar przy budynku - DPP	0,046	0,046
G	0,7*	1,27	0,002	0,003	0,3 - 2,0	53°42'52.8" N 19°19'36.0" E	ul. Koszarowa 13, pomiar przy budynku - DPP	0,046	0,046
H	0,7*	1,27	0,002	0,003	0,3 - 2,0	53°43'5.2" N 19°19'23.0" E	ul. Wiśniowa 4, pomiar przy budynku - DPP	0,046	0,046

Wynik pomiaru pole - E [V/m] - maksymalna wartość chwilowa zmierzona w danym pionie pomiarowym (uśredniona na podstawie punktu 11 załącznika do Rozporządzenia Ministra Klimatu z dnia 17 lutego 2020 r. w sprawie sposobów sprawdzania dotrzymania dopuszczalnych poziomów pól elektromagnetycznych w środowisku (Dz.U. 2022 poz. 2630). Zgodnie z pkt. 7 załącznika do Rozporządzenia Ministra Klimatu z dnia 17 lutego 2020 r. w sprawie sposobów sprawdzania dotrzymania dopuszczalnych poziomów pól elektromagnetycznych w środowisku (Dz.U. 2022 poz. 2630) nie stosuje się poprawek pomiarowych.

Przyjęto najniższą dopuszczalną wartość składowej elektrycznej pola dla objętego pomiarami zakresu częstotliwości $\min(ME_{gr}) = 28 \text{ V/m}$ oraz składowej magnetycznej $\min(MH_{gr}) = 0,073 \text{ A/m}$.

* - wartość zmierzona poniżej zakresu akredytacji. Do obliczeń przyjęto wartość zgodną z dolną granicą akredytowanego zakresu pomiarowego metody.

GKP - główne kierunki pomiarowe

PKP - pomocnicze kierunki pomiarowe

DPP - dodatkowe punkty pomiarowe

PP - pion pomiarowy

U - niepewność pomiarowa rozszerzona, przy poziomie ufności 95%, z uwzględnieniem współczynnika rozszerzenia $k=2$

WM_E - wartość wskaźnikowa poziomu emisji pól elektromagnetycznych dla miejsc dostępnych dla ludności dla składowej elektrycznej pola

WM_H - wartość wskaźnikowa poziomu emisji pól elektromagnetycznych dla miejsc dostępnych dla ludności dla składowej magnetycznej pola

7. Stwierdzenie zgodności

Na podstawie wytycznych podanych w Rozporządzeniu Ministra Zdrowia z dnia 17 grudnia 2019 r. w sprawie dopuszczalnych poziomów pól elektromagnetycznych w środowisku (Dz.U. 2019 poz. 2448) oraz sposobów sprawdzania dotrzymania tych poziomów zgodnie z Rozporządzeniem Ministra Klimatu z dnia 17 lutego 2020 r. w sprawie sposobów sprawdzania dotrzymania dopuszczalnych poziomów pól elektromagnetycznych w środowisku (Dz.U. 2022 poz. 2630), dotyczących źródła wymagań, które muszą być spełnione, w oparciu o zasadę

„Bez pisemnej zgody Laboratorium niniejsze sprawozdanie nie może być powielane inaczej, jak tylko w całości. Ponadto wyniki dotyczą tylko badanych obiektów przywołanych w niniejszym sprawozdaniu z badań”

podejmowania decyzji zgodną z pkt. 26 Rozporządzenia Ministra Klimatu z dnia 17 lutego 2020 r. (Dz.U. 2022 poz. 2630), na podstawie wyników pomiarów pól elektromagnetycznych wykonanych w dniu 2023-06-09 stwierdzono, że wszystkie wyniki przeprowadzonych pomiarów w danym obszarze pomiarowym oraz wyznaczone na tej podstawie wskaźniki WME oraz WMH są mniejsze od wartości dopuszczalnych – zgodnie z przepisami wydanymi na podstawie art. 122 ust. 1 ustawy z dnia 27 kwietnia 2001 r. – Prawo ochrony środowiska – załącznikiem do Rozporządzenia Ministra Klimatu i Środowiska z dnia 17 lutego 2020 r. w sprawie sposobów sprawdzania dotrzymywania dopuszczalnych poziomów pól elektromagnetycznych w środowisku (Dz.U. 2022 poz. 2630, pkt 26).

8. Oświadczenie.

Wyniki badania odnoszą się wyłącznie do badanego obiektu.

Bez pisemnej zgody sprawozdanie nie może być powielane inaczej, jak tylko w całości.

Uwagi i zastrzeżenia przyjmowane są w formie pisemnej.

9. Spis załączników.

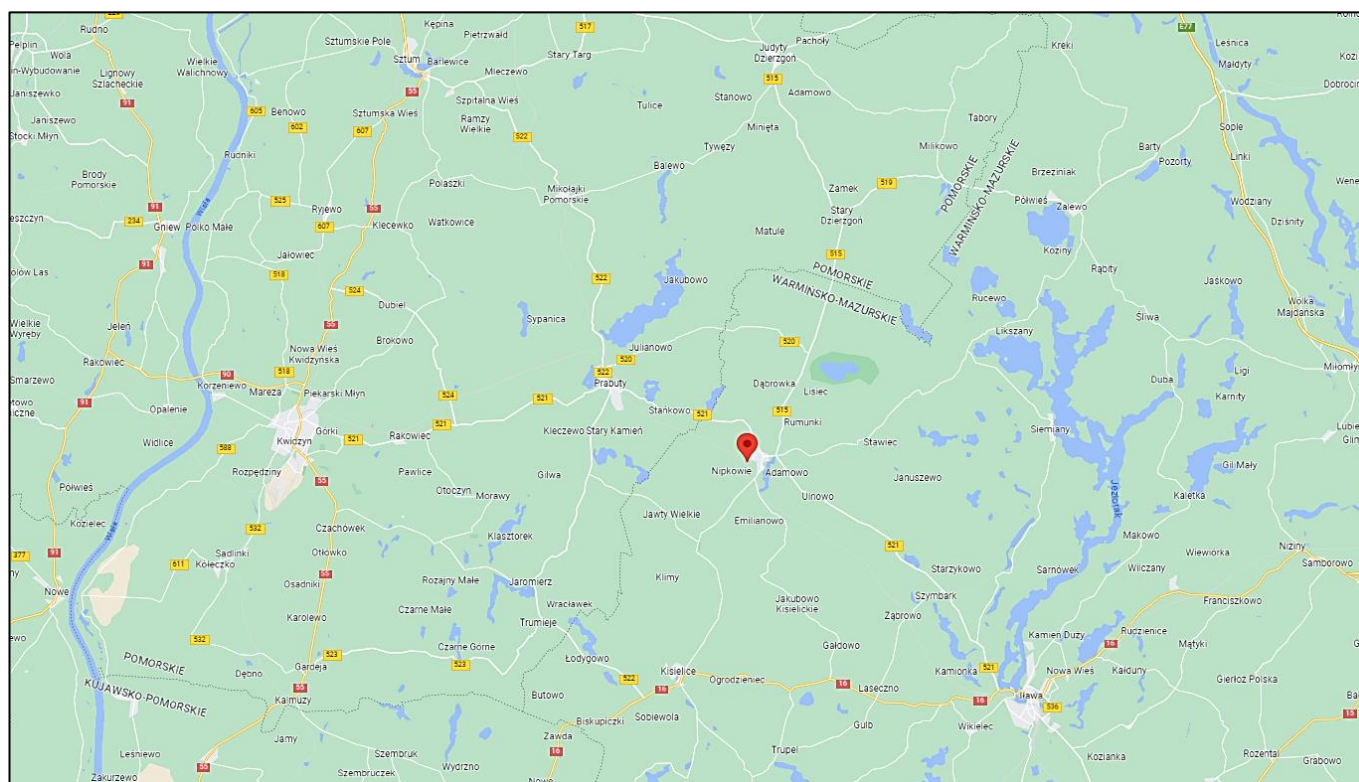
Załącznik 1. Lokalizacja obiektu.

Załącznik 2. Widok pionowy pomiarowych

Załącznik 3. Widok stacji bazowej

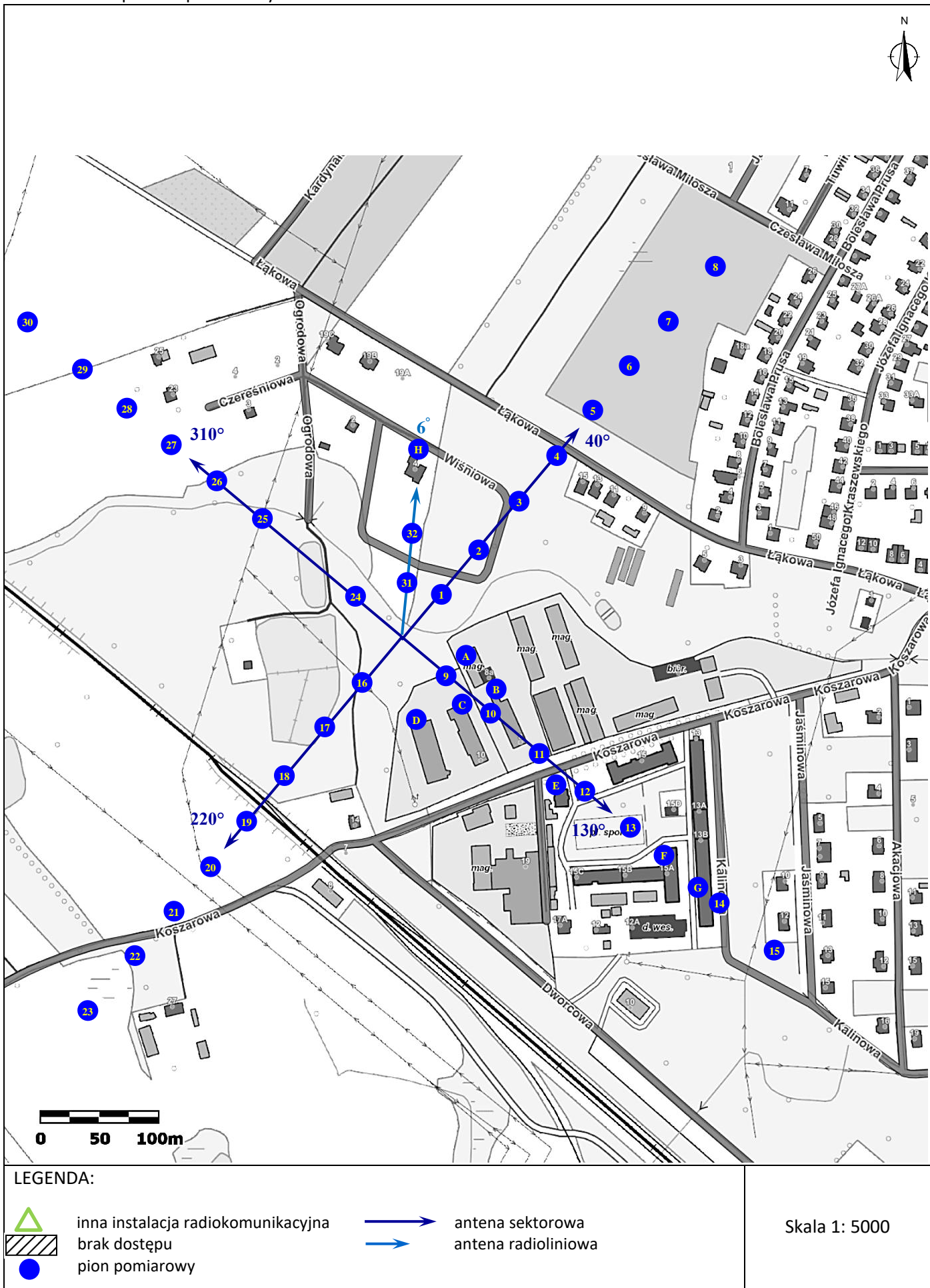
Koniec sprawozdania

Załącznik 1. Lokalizacja obiektu



Współrzędne geograficzne	
szerokość:	53°42'59.89"N
długość:	19°19'22.55"E

Załącznik 2. Widok pionów pomiarowych



Załącznik 3. Załączniki graficzne

